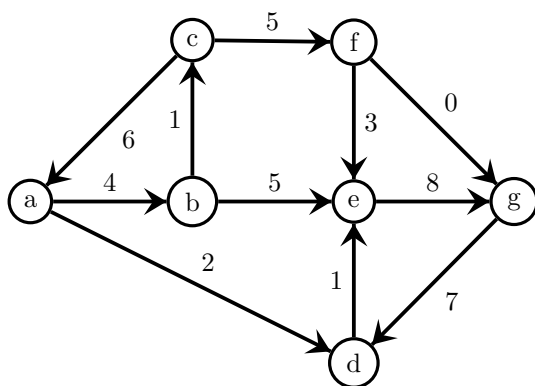


## Aula Prática 4

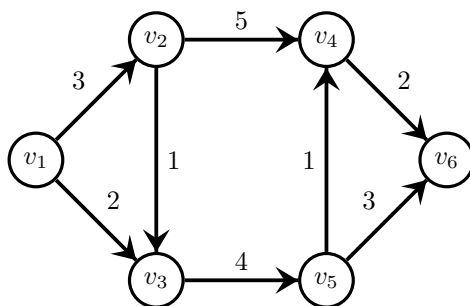
ASA 2020/2021

**T1 06/07 II.1** Considere o grafo da figura.



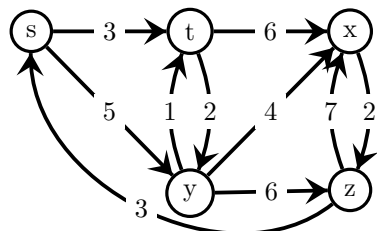
Indique os valores de  $d$  e  $\pi$  para cada vértice quando faltam extrair dois nós da fila de prioridade na execução do algoritmo de Dijkstra a partir do vértice  $c$ .

**T1 08/09 II.3** Considere a execução do algoritmo de Dijkstra, sobre o grafo dirigido e pesado da figura abaixo, tendo como fonte o vértice  $v_1$ .



Indique os valores de  $d$  e  $\pi$  para os vértices  $\{v_2, v_3, v_4, v_5, v_6\}$  imediatamente após a aplicação do procedimento RELAX sobre todos os arcos com origem no vértice  $v_5$ , durante a execução do referido algoritmo.

**Ex. 24.3-1** Run Dijkstra's algorithm on the following directed graph, first use vertex  $s$  as the source and then use vertex  $z$ . Show the  $d$  and  $\pi$  values and the vertices in the set  $S$  after each iteration of the **while** loop.



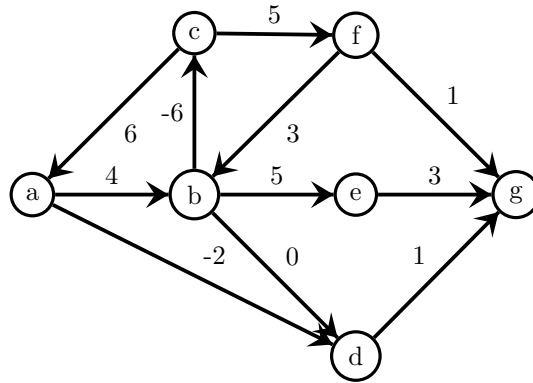
**Ex. 24.3-2** Give a simple example of a directed graph with negative-weight edges for which Dijkstra's algorithm produces incorrect answers. Why doesn't the proof of Theorem 24.6 go through when negative-weight edges are allowed?

**Ex. 24.3-3** Suppose we change line 4 of Dijkstra's algorithm to the following:  
**while**  $|Q| > 1$

This causes the while loop to execute  $|V| - 1$  times instead of  $|V|$  times. Is this proposed algorithm correct?

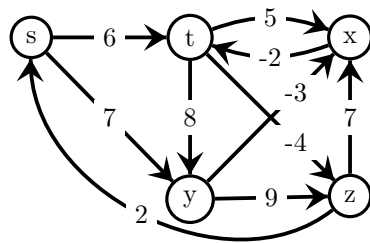
**Ex. 24.3-4** Professor Gaedel has written a program that he claims implements Dijkstra's algorithm. The program produces  $d[v]$  and  $\pi[v]$  for each vertex  $v \in V$ . Give an  $O(V + E)$  time algorithm to check the output of the professor's program. It should determine whether the  $d$  and  $\pi$  attributes match those of some shortest-paths tree. You may assume that all edge weights are nonnegative.

**R1 06/07 II.1** Considere o grafo da figura.



Indique os valores de  $d$  e  $\pi$  para todos os vértices após duas iterações do ciclo principal do algoritmo de Bellman-Ford. Considere como fonte o vértice  $b$  e que uma ordem lexicográfica para o tratamento dos arcos (ou seja, ordem alfabética dos nós de partida e, dentre estes, ordem alfabética dos nós de chegada).

**Ex. 24.1-1** Run the Bellman-Ford algorithm on the following directed graph, using vertex  $z$  as the source. In each pass, relax edge in the following order  $(t, x), (t, y), (t, z), (x, t), (y, x), (y, z), (z, x), (z, s), (s, t), (s, y)$ , and show  $d$  and  $\pi$  values after each pass. Now, change the weight of edge  $(z, x)$  to 4 and run the algorithm again, using  $s$  as the source.



**Ex. 24.1-4** Modify the Bellman-Ford algorithm so that it sets  $d[v]$  to  $-\infty$  for all vertices  $v$  for which there is a negative-weight cycle on the path from the source to  $v$ .

**R1 08/09 II.2** Considere os algoritmos para o cálculo de caminhos mais curtos. Indique se cada uma das seguintes afirmações é verdadeira (V) ou falsa (F).

1. O algoritmo de Bellman-Ford permite detectar ciclos negativos.
2. Se a relaxação dos arcos de um grafo dirigido e acíclico for efectuada de acordo com a ordenação topológica dos respectivos vértices, é possível determinar os caminhos mais curtos de fonte única em tempo  $\Theta(V + E)$ .
3. No algoritmo de Dijkstra, quando um vértice  $u$  é extraído da fila de prioridade,  $d[u]$  e  $\pi[u]$  já têm o respectivo valor final, mesmo em grafos contendo arcos com peso negativo.
4. O algoritmo de Dijkstra produz os valores finais correctos, mesmo que o ciclo principal seja executado apenas  $|V| - 2$  vezes.
5. Se num grafo existir mais do que um componente fortemente ligado (SCC), têm obrigatoriamente que existir dois vértices  $u$  e  $v$ , tal que  $\delta(u, v) = \infty$ .
6. Os caminhos mais curtos obedecem sempre à desigualdade triangular.
7. Em grafos em que os pesos dos arcos sejam todos diferentes e inteiros positivos, existe apenas um caminho mais curto entre qualquer par de vértices.
8. O tempo de execução do algoritmo de Bellman-Ford é  $O(VE^2)$ .